



Vilniaus universitetas
Duomenų mokslo ir skaitmeninių
technologijų institutas
L I E T U V A



INFORMATIKA (09 P)

KOMPIUTERIO MOKYMO METODAI FIZIKINIŲ IR BIOCHEMINIŲ DUOMENŲ ANALIZĖJE

Tomas Raila

2018 m. spalis

Mokslinė ataskaita DMSTI-DS-09P-18-1

Santrauka

Naudojant baigtinių elementų metodą modeliuojamos fosfolipidinių dvisluoksninių membranų su defektais elektrinio laidumo savybės. Tiriama priklausomybė tarp defektų dydžio, tankio, išsibarstymo geometrijos ir membranų elektrinių charakteristikų. Lyginami rezultatai, gauti naudojant sintetiškai sugeneruotus bei realiuose eksperimentuose gautus defektų pasiskirstymus. Vertinama defektų išsidėstymo heterogeniškumo įtaka membranų elektrinėms savybėms.

Raktiniai žodžiai: **fosfolipidinės membranos, elektrocheminio impedanso spektroskopija, baigtinių elementų metoda, membranų defektais, heterogeniškumas**

Turinys

1	Ivadas	4
2	Fosfolipidinių membranų tyrimai	4
3	Membranos modelis	5
3.1	Modelio formuluotė	5
3.2	Modelio realizacija ir skaitinis sprendimas	7
4	Modeliavimo rezultatai	8
4.1	Palyginimas su analitiniais sprendiniais	8
4.2	Eksperimentinis defektų išsidėstymas	9
4.3	Palyginimas su realiais EIS spektrais	11
5	Išvados	12
	Literatūros sąrašas	12

1 Įvadas

Imobilizuotos dvisluoksnės fosfolipidinės membranos (tBLM) yra populiarūs eksperimentinė platformos, naudojamas baltymų ir membranų savybių tyrimams. Šio tipo membranos idealiu atveju yra nelaidžios elektros srovei, tačiau ši savybė keičiasi membranoje esant defektams, atsirandantiems membranai sąveikaujant su tam tikrais baltymais, peptidais ar poras formuojančiais tokсинais. Vienas iš metodų, naudojamų išvertinti tBLM membranų dielektrines savybes yra elektrocheminio impedanso spektroskopija (EIS). Nors šis būdas leidžia išvertinti makroskopines membranų savybes, jis nesuteikia tiesioginės informacijos apie struktūrines membranų su defektais savybes. Tokiems atvejams dažnai reikalingi sudėtingesni mikroskopijos metodai, pavyzdžiu atominės jėgos mikroskopija (AFM).

Šio darbo tikslas yra ištirti priklausomybę tarp defektuotų membranų struktūrinių savybių ir jų atitinkamų EIS spektrinių požymių. Naudojant baigtinių elementų metodą (FEM) buvo sumodeliuoti EIS spektrai esant įvairiems defektų išsidėstymams membranoje. Trimačiai membranų modeliai buvo realizuoti ir išspręsti naudojant COMSOL Multiphysics baigtinių elementų analizės paketą. Modeliavimo metu buvo naudojami kompiuteriu atsiskirtinai sugeneruoti bei eksperimentiškai AFM metodu užregistruoti membranų defektų išsidėstymai.

2 Fosfolipidinių membranų tyrimai

Imobilizuotos dvisluoksnės fosfolipidinės membranos (angl. *tethered bilayer lipid membranes - tBLM*) yra universalus eksperimentinis įrankis, leidžiantis kontroluojamomis sąlygomis tirti sąveikas tarp lipidinių membranų ir baltymų ar kito tipo junginių. Molekuliniuose inkarais prie elektrai laidaus paviršiaus (pvz. aukso elektrodo) pritvirtinta tBLM membrana veikia kaip dielektrikas ir idealiu atveju turėtų pasižymėti idealaus kondensatoriaus savybėmis [VMI12]. Vis dėlto, realiomis sąlygomis tokios membranos pasižymi defektais, įtakojančiais membranos dielektrines savybes. tBLM membranose defektais gali atsirasti natūraliai arba būti dirbtinai sukurti veikiant membraną poras formuojančiais junginiais.

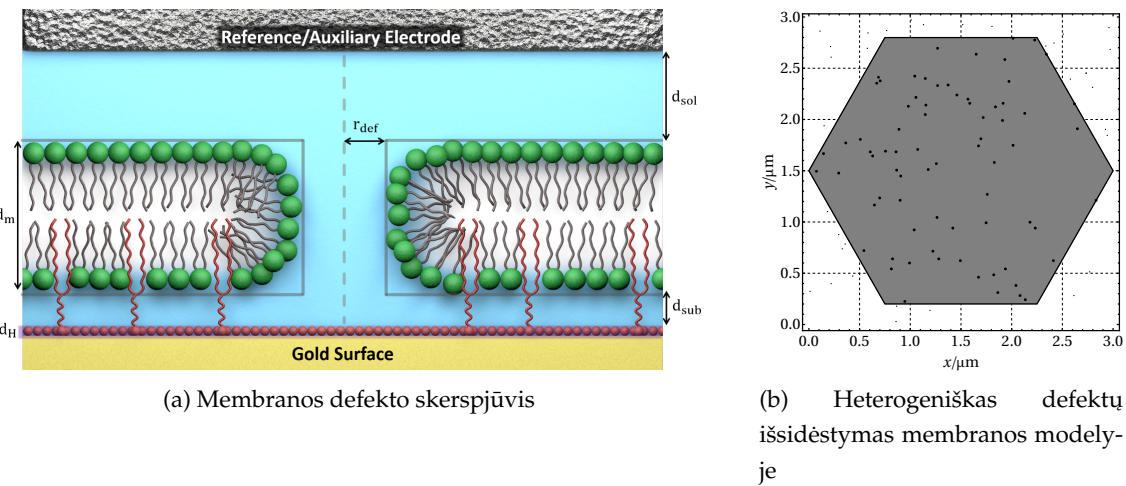
Elektrocheminio impedanso spektroskopija (EIS) yra vienas iš metodų, naudojamų išvertinti tBLM membranų dielektrines savybes. Naudojant šį metodą tiriamu sistema yra veikiama kintamaja elektros srove ir matuojamas jos atsakas pagal srovės dažnį. Tiriant EIS spektrinių charakteristikų ryšį su membranos struktūrinėmis savybėmis anksčiauose darbuose membranų EIS spektrai buvo modeliuoti tiek analitiškai [VMI12], tiek naudojant baigtinių elementų metodą [KVL⁺10]. Abiem atvejais buvo daroma prielaida, jog defektais membranoje yra pasiskirstę homogeniškai - vienodais tarpusavio atstumais ir sudarantys idealų šešiakampį tinklą. Vis dėlto, eksperimentiniai stebėjimai rodo, jog realiomis sąlygomis defektų pasiskirstymai yra heterogeniški, ir tai įtakoja EIS spektrines

charakteristikas [VMPJ16].

3 Membranos modelis

3.1 Modelio formuluotė

Siekiant apskaičiuoti EIS spektrines charakteristikas esant įvairiems heterogeniškiems defektų išsidėstymams tBLM membranoje, sudarytas trimatis membranos modelis, susidedantis iš keturių sluoksniių: tirpalo, membranos, pomembraninio sluoksnio ir Helmholtzo sluoksnio (1a pav.). Naudojama šešiakampė geometrija (1b pav.).



1 pav.: tBLM membranos modelis

Baigtinių elementų metodu (FEM) [TZT13] sprendžiama Laplaso lygtis [HB12]:

$$\nabla \cdot (\tilde{\sigma}(x,y,z) \nabla \Phi(x,y,z)) = 0 \quad (1)$$

Čia Φ yra kompleksinė įtampa, $\tilde{\sigma}$ - kompleksinis laidumas. Pastarasis dydis gali būti išreikštas realios ir menamosios dalies suma:

$$\tilde{\sigma}(x,y,z) = \sigma(x,y,z) + j \omega \varepsilon(x,y,z), \quad (2)$$

Čia σ ir ε atitinkamai - elektrinis laidumas ir dielektrinė skvarba, j - menamasis vienetas, ω - kampinis dažnis, kur $\omega = 2\pi f$.

Laikoma, kad šešiakampės modelio prizmės viršuje yra fiksotas 1V elektrinis potencialas, o po Helmholtzo sluoksniu potencialas lygus 0. Šios prielaidos modelyje išreiškiamos kaip Dirichlė kraštinės sąlygos:

$$\Phi(x, y, h_{hex}) = 1 \quad (3)$$

$$\Phi(x, y, 0) = 0 \quad (4)$$

Taip pat laikoma, kad šešiakampės prizmės šonai yra nelaidūs srovei, apibrėžiant atitinkamą kraštinės salygą, kur n - prizmės šoninės sienos normalinis vektorius:

$$n \cdot J = 0 \quad (5)$$

Pagal kompleksinės įtampos sprendinį išreiškiamas srovės tankis erdvės taške:

$$J(x,y,z) = -\tilde{\sigma}(x,y,z) \nabla \Phi(x,y,z) \quad (6)$$

Pagal srovės tankio reikšmes prizmės viršuje skaičiuojamas admitansas - dydis, apibūdinantis, kaip lengvai objektas praleidžia srovę:

$$Y = \frac{\iint_{(x,y) \in \Gamma_{hex}} -n \cdot J(x, y, h_{hex}) dx dy}{S_{hex}} \times \frac{1}{\Phi(x, y, h_{hex})} \quad (7)$$

1 lentelė: Pagrindiniai modelio parametrai

Aprašymas	Žymėjimas	Reikšmė	Vienetai
Helmholco sluoksnio storis	d_H	$6.6 \cdot 10^{-8}$	cm
Pomembraninio sluoksnio storis	d_{sub}	$1.8 \cdot 10^{-7}$	cm
Membranos storis	d_m	$3 \cdot 10^{-7}$	cm
Tirpalio sluoksnio storis	d_{sol}	$50 \cdot 10^{-7}$	cm
Modelio šešiakampės prizmės kraštinės ilgis	l_{hex}	kintantis	cm
Helmholco talpa	C_H	$5.5 \cdot 10^{-6}$	F cm^{-2}
Helmholco sluoksnio santykinė dielektrinė skvarba	ϵ_H	4.0975	-
Membranos santykinė dielektrinė skvarba	ϵ_m	2.2	-
Pomembraninio sluoksnio laidumas	σ_{sub}	10^{-5}	S cm^{-1}
Defektų atitinkančios srities laidumas	σ_{def}	10^{-2}	S cm^{-1}
Tirpalio laidumas	σ_{sol}	10^{-2}	S cm^{-1}
Defekto spindulys	r_{def}	kintantis	cm
Defektų skaičius	N	kintantis	-
Defektų tankis	N_{def}	kintantis	cm^{-2}

Defektas apibrėžiamas kaip membraną ir pomembraninį sluoksnį kertantis cilindras su spinduliu r_{def} ir aukščiu $d_m + d_{sub}$. Nagrinėjami tiek homogeniški defektų pasiskirstymai (vienodi atstumai tarp defektų, šie sudaro idealų šešiakampį tinkleli), tiek heterogeniški pasiskirstymai. Pastarieji generuojami kiekvienam defektui neprisklausomai imant x ir y koordinates iš tolydžiojo pasiskirstymo. Generuojant defektų išsibarstymus naudojami parametrai - defekto spindulys r_{def} , defektų skaičius N , defektų tankis N_{def} . Nuo pastarujuų dviejų parametru atitinkamai priklauso modelio šešiakampės prizmės kraštinės ilgis l_{hex} . Kiekvieno defektų išsibarstymo atveju modeliuojama dažnio sritis nuo 10^{-2} iki 10^6 Hz, taškus išdėstant logaritmiškai po 10 taškų dekadai - gaunamas 81 taškas, iš kurių sudaromas EIS spektras. Šioje ataskaitoje aprašomuose eksperimentuose nagrinėjami šie EIS parametrai, išvedami iš admitanso reikšmių:

$$f_{min} \quad - \text{dažnis } f \text{ kuriame } \arg Y(f) \text{ igyja mažiausią reikšmę}, \quad (8)$$

$$\arg Y(f_{min}) \quad - \text{admitanso fazės reikšmė taške } f_{min}, \quad (9)$$

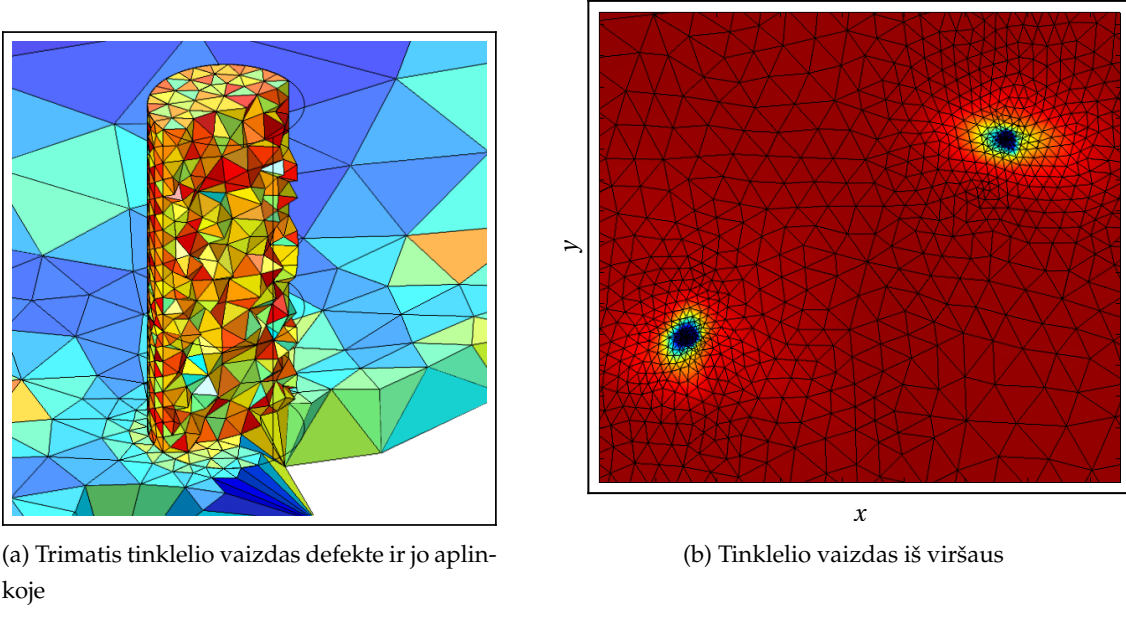
$$|Y(f_{min})| \quad - \text{admitanso modulio reikšmė taške } f_{min}, \quad (10)$$

$$D_{f_{min}} \quad - \text{išvestinė } \frac{d \lg |Y|}{d \lg f} \text{ taške } f_{min}. \quad (11)$$

3.2 Modelio realizacija ir skaitinis sprendimas

Aprašytas trimatis defektuotos membranos modelis buvo realizuotas naudojant baigtinių elementų analizės paketą COMSOL Multiphysics. Skaitinis modelio sprendimas susideda iš dviejų etapų. Pirmame etape sugeneruojamas tinklelis (angl. *mesh*), padalinantis modeliuojamą trimatę sritį į tetraedrus. Daroma prielaida, jog didžiausi srovės tankio pokyčiai yra defektų viduje ir aplink juos, todėl, siekiant tikslesnių skaičiavimų rezultatų, šiose srityse tinklelis sutankinamas (2a, 2b pav.), tuo tarpu modelio srityse neturinčiose defektų tinklelis išretinamas. Antrame etape pagal sugeneruotą tinklelį bei aparašomą matematinį modelį sudaroma didelė išretinta tiesinių lygčių sistema, sprendžiama vienu iš COMSOL pakete realizuotų algoritmu. Šiame darbe aprašomuose eksperimentuose naudotas MUMPS (angl. sutrump. *multifrontal massively parallel sparse direct solver*) algoritmas [ADKL01], priklausantis tiesioginių algoritmų (angl. *direct solver*) grupei. Nors tokie išretintų matricų sprendimo algoritmai pasižymi stabilumu, sprendžiant didelės apimties uždavinius dažniau naudojami iteraciniai algoritmai, pasižymintys didesniu našumu.

Skaičiavimų trukmės priklausomybė nuo defektų dydžio ir defektų skaičiaus, esant fiksuotam defektų tankiui modelyje, pateikta 2 lentelėje. Galima pastebėti, kad didinant defektų skaičių modelyje, modelio laisvės laipsnių skaičius ir, atitinkamai, skaičiavimų trukmė didėja tiesiškai. Laikai išmatuoti atliekant skaičiavimus sekančioje aplinkoje: Lenovo Thinkpad T470s, Intel Core i5-7300U CPU @ 2.60GHz, 12 GB RAM, Debian GNU/Linux 9 (streich) OS. Taip pat dalis eksperimentų buvo vykdyta MIF paskirstytų skaičiavimų tinkle (PST), kiekvieno modelio atveju skaičiavimus lygiagretinant pagal srovės dažnio f parametrum.



2 pav.: Modeliuojamos srities tinklelis

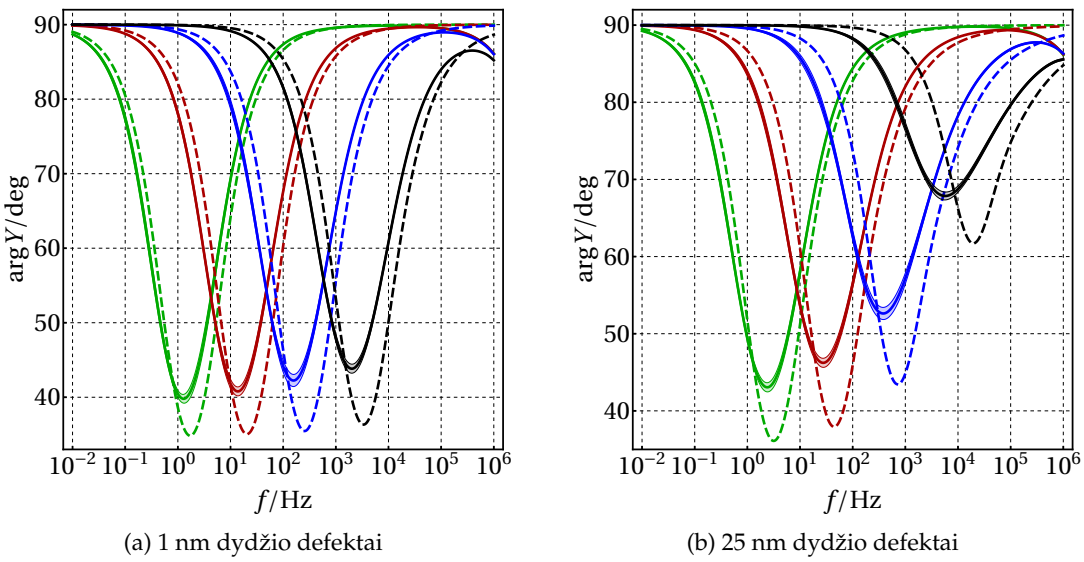
2 lentelė: Skaičiavimų trukmė esant skirtingiems defektų dydžio r_{def} ir defektų skaičiaus N parametroms. Skaičiavimai atlikti su atsitiktinai sugeneruotais heterogeniškais defektų pasiskirstymais, esant fiksuotam defektų tankiui $N_{def} = 10 \mu\text{m}^{-2}$

r_{def}	N	Laisvės laipsnių sk.	Lygčių sistemos sprendimo laikas, s	Bendras laikas, s
1	10	106570	245	272
1	25	234751	518	563
1	50	472177	1023	1102
1	100	961557	2132	2286
25	10	135807	287	318
25	25	348648	725	784
25	50	690009	1419	1530
25	100	1380978	2841	3071

4 Modeliavimo rezultatai

4.1 Palyginimas su analitiniais sprendiniais

Šio eksperimento metu buvo tiriamas EIS spektrinių charakteristikų priklausomybė nuo defektų tankio, esant heterogeniškiems atsitiktinai sugeneruotiems defektų išsidėstymams (3 pav.). Kiekvienu defektų tankio atveju buvo sugeneruota 10 defektų išsibarstymu, su kuriais atliktas baigtinių elementų modeliavimas. Tuo pačiu rezultatai palyginti su analitiniais sprendiniais atitinkamo tankio homogeniškiems defektų išsibarstymams (esant vienodiems atstumams tarp defektų) [VMI12].

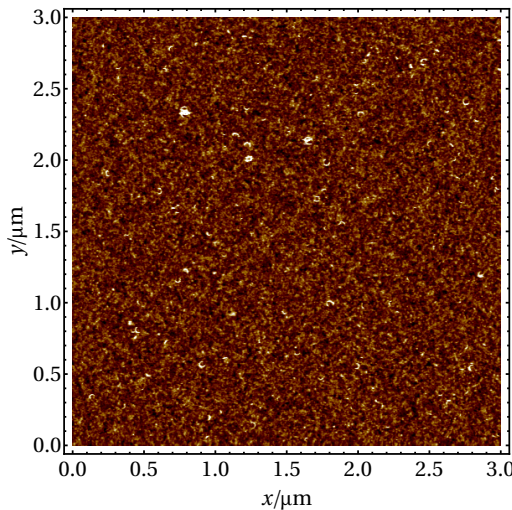


3 pav.: EIS spektrų priklausomybė nuo defektų tankio. Ištisinės kreivės žymi baigtinių elementų metodu sumodeliuotus spektrus heterogeniškiems defektų pasiskirstymams. Punktyrinės kreivės žymi analitinius sprendinius homogeniškiems defektų pasiskirstymams. Skirtingos spalvos atitinka skirtinį defektų tankį: žalia - $N_{def} = 0.1 \mu\text{m}^{-2}$, raudona - $N_{def} = 1 \mu\text{m}^{-2}$, mėlyna - $N_{def} = 10 \mu\text{m}^{-2}$, juoda - $N_{def} = 100 \mu\text{m}^{-2}$

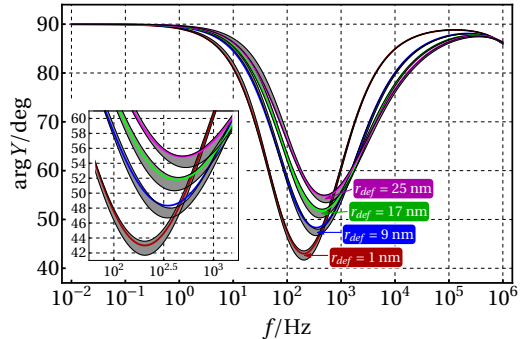
Rezultatai rodo, jog defektų išsibarstymo heterogeniškumas nesukelia ryškių kokybiinių pokyčių EIS spektruose. Kita vertus, šiuo atveju pastebimas admitanso fazės minimumo taško poslinkis į viršų bei link mažesnių dažnių. Pagal tokią EIS spektrinių charakteristiką nuo defektų tankio priklausomybę galima ivertinti defektų tankį eksperimentiškai EIS metodu tiriamai tBLM membranai, su salyga kad kiti sistemos parametrai yra žinomi.

4.2 Eksperimentinis defektų išsidėstymas

Naudojant AFM mikroskopijos metodą buvo užregistruoti realūs defektų išsidėstymai tBLM membranose. Vizualiai ivertinus AFM vaizdus buvo parinkti du atvejai - be defektų klasterių ir su klasteriais (4a, 5a pav.). Nustačius defektų tankį atrinktuose išsidėstymuose buvo sugeneruoti heterogeniški atitinkamo tankio defektų pasiskirstymai (po 10 variantų kiekvienam realiam atvejui) ir atliktas baigtinių elementų modeliavimas tiek su sugeneruotais pasiskirstymais, tiek su eksperimentiškai registruotais. Tikslūs defektų matmenys realiais atvejais nebuvò žinomi, todèl skaičiavimai buvo atliekami su 4 tiketiniais defektų spinduliais $r_{def} = 1, 9, 17, 25$ nm, atsižvelgiant į eksperimento salygas [TOG⁺05].

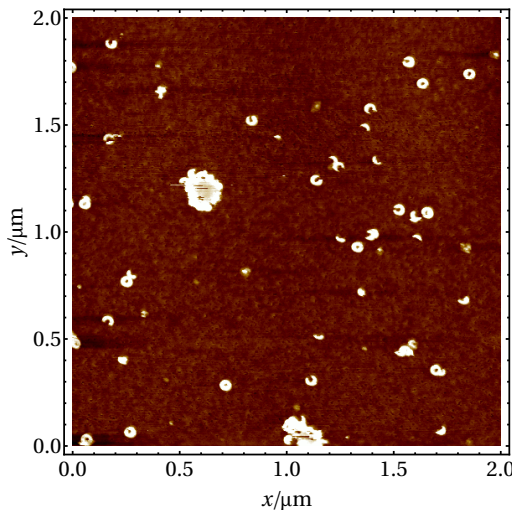


(a) Membranos AFM vaizdas

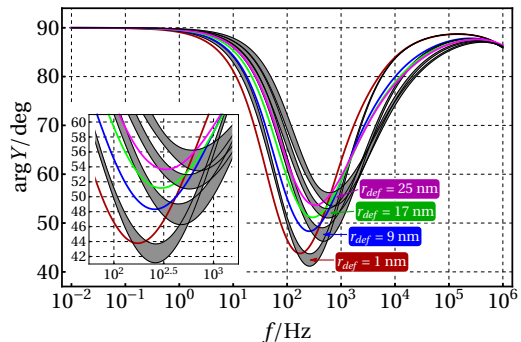


(b) EIS spektrai sumodeliuoti eksperimentiškai gautam (spalvotos kreivės) ir kompiuteriu sugeneruotiemis (pilkos juostos) defektų išsidėstymams

4 pav.: EIS spektrų modeliavimas pagal eksperimentiškai gautą defektų išsibarstymą be klasterių



(a) Membranos AFM vaizdas



(b) EIS spektrai sumodeliuoti eksperimentiškai gautam (spalvotas kreivės) ir kompiuteriu sugeneruotiemis (pilkos juostos) defektų išsidėstymams

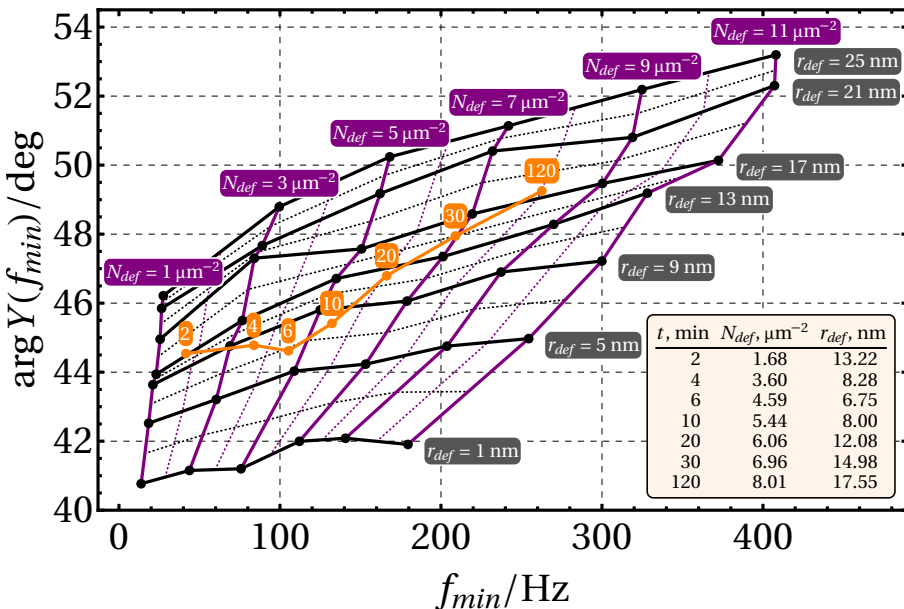
5 pav.: EIS spektrų modeliavimas pagal eksperimentiškai gautą defektų išsibarstymą su klasteriais

Atlikus skaičiavimus aprašytomis sąlygomis buvo siekiama atsakyti į klausimą, ar EIS spektrai, gauti iš atsitiktinai kompiuteriu sugeneruotų pasiskirstymų ir eksperimentiškai užregistruotų, yra panašūs. Rezultatai gauti defektų pasiskirstymo be klasterių

atveju (4a, 4b pav.) šią hipotezę patvirtina - daugumos defektų spindulių atvejais eksperimentinio pasiskirstymo EIS kreivės suderinamos su sintetinių pasiskirstymų atvejų standartinio nuokrypio juostomis, išskyrus nedidelius nesutapimus 9 nm defektų atvejų. Tuo tarpu eksperimentinio išsibarstymo su klasteriais atveju matomi ryškūs nesutapimai su sintetinius pasiskirstymus atitinkančiomis juostomis (5a, 5b pav.).

4.3 Palyginimas su realiais EIS spektrais

Atliekant tBLM membranos ir VLY baltymo [ZPL⁺10] sąveikos eksperimentą buvo registruojami EIS spektrai praėjus skirtingam laikui nuo eksperimento pradžios. Interpoliuojant eksperimentų, aprašytų 4.1 ir 4.2 poskyriuose, rezultatus, pagal eksperimentinius EIS spektrus buvo įvertintas membranos defektų tankis bei jų spindulys kiekvieno matavimo metu (6 pav., lentelė ir oranžinė kreivė). Taip pat buvo sumodeliuoti EIS spektrai sintetiniams defektų pasiskirstymams su įvairiu tankiu ir spinduliu (6 pav.). Atvaizdavus pagrindinius visų šių EIS spektrų parametrus (f_{min} ir $\arg Y(f_{min})$) matyti reikišminga koreliacija tarp eksperimentinių duomenų ir modeliavimo rezultatų. Kita vertus, pastebimas žymus eksperimentinių duomenų kreivės nuokrypis nuo modeliavimo rezultatų laiko intervale nuo 4 iki 20 min. Tai gali būti susiję su defektų klasterizacija membranoje arba kitais reiškiniais - norint paaiškinti šį efektą reikalingi tolesni tyrimai.



6 pav.: Eksperimentiškai gauto tBLM membranos EIS spektro (oranžinė kreivė) palyginimas su modeliuotais EIS spektrais pagal heterogeniškus atsitiktinai sugeneruotus defektų pasiskirstymus (juodi taškai)

5 Išvados

Aprašytu tyrimu metu buvo realizuotas trimatis tBLM membranos su defektais modelis ir baigtinių elementų metodu sumodeliuoti EIS spektrai esant įvairiems defektų pasiskirstymams membranoje. Nustatytas kokybinis panašumas tarp skaičiųkai sumodeliuotų EIS spektrų heterogeniškiems defektų pasiskirstymams ir analitinės sprendinės homogeniškiems pasiskirstymams. Palyginus modeliavimo rezultatus, gautus naudojant eksperimentiškai užregistruotus defektų išsidėstymus bei kompiuteriu atsitiktinai sugeneruotus, pastebėta reikšminga defektų klasterizacijos įtaka EIS spektrinėms charakteristikoms. Realių ir modeliuotų EIS spektrų palyginimas rodo, jog EIS metodas turi potencialo būti naudojamas struktūrinių tBLM membranų savybių įvertinimui.

Literatūros sąrašas

- [ADKL01] Patrick R. Amestoy, Iain S. Duff, Jacko Koster, and Jean-Yves L'Excellent. A fully asynchronous multifrontal solver using distributed dynamic scheduling. *SIAM Journal on Matrix Analysis and Applications*, 23:15–41, 2001.
- [HB12] William H. Hayt and John A. Buck. *Engineering Electromagnetics, 8th ed.* McGraw-Hill, 2012.
- [KVL⁺10] Kwang Joo Kwak, Gintaras Valincius, Wei-Ching Liao, Xin Hu, Xuejin Wen, Andrew Lee, Bo Yu, David J Vanderah, Wu Lu, and L James Lee. Formation and finite element analysis of tethered bilayer lipid structures. *Langmuir*, 26:18199–18208, 2010.
- [TOG⁺05] Sarah J. Tilley, Elena V. Orlova, Robert J.C. Gilbert, Peter W. Andrew, and Helen R. Saibil. Structural basis of pore formation by the bacterial toxin pneumolysin. *Cell*, 121:247–256, 2005.
- [VMI12] Gintaras Valincius, Tadas Meškauskas, and Feliksas Ivanauskas. Electrochemical impedance spectroscopy of tethered bilayer membranes. *Langmuir*, 28:977–990, 2012.
- [VMPJ16] Gintaras Valincius, Mindaugas Mickevicius, Tadas Penkauskas, and Marija Jankunec. Electrochemical impedance spectroscopy of tethered bilayer membranes: An effect of heterogeneous distribution of defects in membranes. *Electrochim. Acta*, 222:904–913, 2016.
- [ZPL⁺10] Aurelija Zvirbliene, Milda Pleckaityte, Rita Lasickiene, Indre Kucinskaite-Kodze, and Gintautas Zvirblis. Production and characterization of monoclonal antibodies against vaginolysin: Mapping of a region critical for its cytolytic activity. *Toxicon*, 56:19–28, 2010.

- [ZTZ13] Olek C. Zienkiewicz, Robert L. Taylor, and J. Z. Zhu. *The Finite Element Method: Its Basis and Fundamentals*, 7th ed. Butterworth-Heinemann, 2013.